- Energy Sector // Proceedings of the 1<sup>st</sup> National Engineering Technology Conference (NETeC2008), Zaria, 1<sup>st</sup>–4<sup>th</sup> april 2008. Book of proceedings. P. 21.
- 114. Makarfi Y.I. Bioethanol conversion on zeolite catalyst: effect of water to ethanol ratio // XVIII International Conference on Chemical Reactors CHEMREACTOR-18., Malta, 29 th september-3-d october 2008.: abstracts. P. 477.
- 115. *Makarfi Y.I.* Ethanol Conversion to toluene over HZSM-5 // 21<sup>st</sup> NAM, San Francisco California. June 7—12, 2009: abstracts. P. 34.
- 116. Tretyakov V. Ph. Formation of alkyl benzenes during ethanol conversion over HZSM-5 Zeolites // VIII international Conference, Mechanisms of catalytic reactions. Novosibirsk Russia, June 29-july 2, 2009: book of abstracts. Vol. 2. P. 74.
- 117. Makarfi Y.I. Effects of temperature and speed velocity on

- product distribution of ethanol conversion over HZSM-5 zeolites // 42<sup>nd</sup> IUPAC world chemistry congress, Glasgow 2—7 <sup>th</sup> August, 2009: abstracts. P. 432.
- 118. Макарфи Ю.И., Трушин А.А., Третьяков В.Ф. Распределение газовых продуктов при конверсии этанола на цеолитных катализаторах // І Международная конференция Российского химического общества им. Д.И. Менделеева. Ресурсо- и энергосберегающие технологии в химической и нефтехимической промышленности, Москва, 2009. С. 48.
- 119. *Макарфи И.Ю.* Конверсия этанола и водноэтанольных смесей на промышленном катализаторе HZSM-5 // Вестник МИТХТ. 2009. Т. 4. № 5. С. 52.
- 120. *Makarfi Y.I.* Conversion of Bioethanol over zeolites // Chemical Engineering Journal. 2009. Vol. 154. P 396.

УДК 541.128 + 542.943.7 + + 662.754

# ПЕРЕРАБОТКА ПРОДУКТОВ БИОМАССЫ В ЭНЕРГОНОСИТЕЛИ В ПРИСУТСТВИИ НАНОРАЗМЕРНЫХ КАТАЛИЗАТОРОВ И МЕМБРАННО-КАТАЛИТИЧЕСКИХ СИСТЕМ

© 2010 г. М.В. Цодиков<sup>1</sup>, А.В. Чистяков<sup>1</sup>, Ф.А. Яндиева<sup>1</sup>, В.В. Жмакин<sup>1</sup>, А.Е. Гехман<sup>2</sup>, И.И. Моисеев<sup>2</sup> <sup>1</sup> Институт нефтехимического синтеза им. А.В. Топчиева РАН, Москва

<sup>2</sup> Институт общей и неорганической химии им. Н.С. Курнакова РАН, Москва

### Введение

На недавно прошедшем конгрессе Eurocat-09, посвященном проблемам устойчивого развития общества, было отмечено, что в ближайшем столетии

**Цодиков М.В.** – докт. хим. наук, профессор, зав. лабораторией каталитических нанотехнологий Института нефтехимического синтеза им. А.В. Топчиева РАН (119991, Москва, Ленинский проспект, 29). Тел.: (495) 955-43-04. E-mail: tsodikov@ips.ac.ru.

**Чистяков А.В.** – мл. науч. сотрудник того же института. Teл.: (495) 955-42-22. E-mail: chistyakov@ips.ac.ru.

Яндиева Ф.А. – канд. хим. наук, вед. науч. сотрудник того же института. Тел.: (495) 955-43-47. E-mail: yand@ips.ac.ru.

Жмакин В.В. – аспирант того же института. Тел.: (495) 955-42-22.

Гехман А.Е. – докт. хим. наук, чл-корр РАН, зав. лабораторией металлокомплексного катализа Учреждения Российской Академии Наук Института общей и неорганической химии им. Н.С. Курнакова РАН (119991, г. Москва, Ленинский проспект, 31). Тел.: (495) 955-48-65. E-mail: gekhman@igic.ras.ru.

**Моисеев И.И.** – докт. хим. наук, академик РАН, гл. науч. сотрудник того же института. Тел.: (495) 955-43-04. E-mail: imois@mail.ru.

автомобильный парк будет потреблять, главным образом, органические виды топлив, базирующиеся на углеводородных продуктах [1].

Поэтому разработка стратегии рационального использования сырья является одной из важнейших задач в энергетике сегодняшнего дня и ближайшего будущего. В рамках этой концепции для получения важнейших энергоносителей, таких как водород и компоненты органических топлив, особое внимание уделяется разработке эффективных процессов, ориентированных на использование органических сырьевых источников, альтернативных углеродсодержащим природным депозитам. Особая роль отводится органическим источникам энергоносителей, получаемым из возобновляемой биомассы [1—5]. Анализ показывает, что органи-

ческая сухая компонента биомассы, получаемая из бытовых отходов и основных продуктов биоферментации, таких как биоспирты, может не только составить весомую долю в производстве основных энергоносителей, но и существенно оздоровить окружающую среду [3]. Этанол, производство которого достигает 70 млрд. л/год и продолжает увеличиваться, сегодня рассматривается как наиболее перспективный и экологически чистый сырьевой источник для решения этих задач [2—5]. Столь быстро развивающаяся отрасль получения этанола вызвана тем, что более 85 % от его общего производства уже используется на технические нужды и, в том числе, в качестве добавки к моторным топливам [3].

В связи с развитием процессов получения биодизеля 1-го поколения из растительных масел, ожидается большое количество выделяемого глицерина, что позволяет рассматривать этот ценный продукт как перспективный сырьевой источник [3, 5].

По ряду причин этанол и, тем более, глицерин, не могут быть использованы в качестве моторного топлива в двигателях внутреннего сгорания [3].

Поэтому актуальна проблема разработки эффективных процессов переработки этих видов сырьевых источников в алифатические углеводороды и водород, традиционно являющиеся наиболее ценными энергоносителями.

В настоящей работе представлены результаты каталитического синтеза алифатических углеводородов и водородсодержащего газа из этанола, глицерина и уксусной кислоты, являющихся первичными продуктами переработки биомассы.

В последнее десятилетие были открыты реакции, в которых этанол может превращаться в алифатические углеводороды по трем маршрутам [5, 6]. Первый маршрут превращения — реакция восстановительной дегидратации с образованием алканов, углеродный скелет которых более, чем вдвое превышает углеродный остов этанола:

$$nEtOH + nH_2 \rightarrow C_nH_{2n+2} + nH_2O.$$
 (1)

Согласно другой реакции, этанол превращается в олефины, углеродный скелет которых также более чем в два раза превосходит углеродный остов исходного спирта:

$$nEtOH \rightarrow C_nH_{2n} + nH_2O$$
,  $n \ge 4$ . (2)

И, наконец, третий маршрут, в котором идут реакции кросс-конденсации углеродного остова

разных спиртов с образованием алканов и олефинов [6];

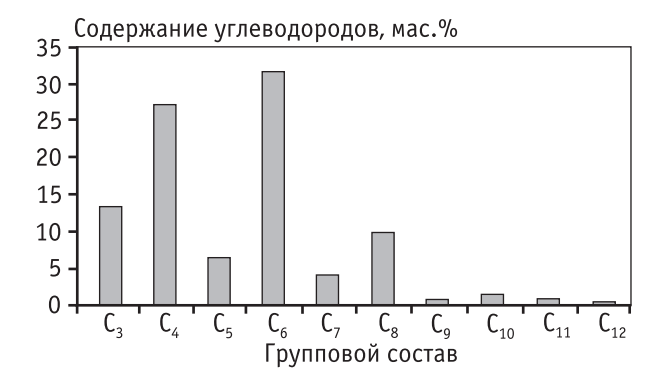
$$R^{1}CH_{2}OH + R^{2}CH_{2}OH < R^{1}CH_{2} - CH_{2}R^{2}$$
 (3a)  
 $R^{1}CH = CHR^{2}$  (36)

Главная особенность этих реакций — прохождение в инертной среде; водород, потребляемый на образование алканов, выделяется в реакционную зону в результате параллельных реакций, идущих с выделением водорода из части этанола [6]. Селективность в образовании алканов, олефинов, а также углеводородов с разветвленной или линейной структурой существенно зависит от используемого катализатора. Выход же алифатических углеводородов зависит не только от состава катализатора, но и от способа и условий его приготовления.

Согласно [6], в присутствии каталитической композиции из водородаккумулирующего интерметаллида [TiFe $_{0,95}$ Zr $_{0,03}$ Mo $_{0,02}$ ]H $_{0,18}$ /Pt/Al $_2$ O $_3$ /MgO, алюмоплатинового катализатора и оксида магния этанол превращается в алкановую фракцию С $_5$ —С $_{16}$ , содержащую более 90 % разветвленных алканов [6].

Известный алюмоплатиновый катализатор (АП-64) проявляет селективность в образовании алкановой фракции  $C_3$ — $C_{10+}$  лишь после предварительного 10-12-ч восстановления при 450 °C [7]. На рис. 1 представлен состав алкановой фракции, полученной из этанола в присутствии АП-64 после длительного восстановления.

Изучение генезиса катализатора методами XAFSспектроскопии и термопрограммированной десорбции аммиака показало, что при длительной активации водородом происходят превращения активных компонентов и реорганизация поверхности катали-



**Рис. 1.** Состав фракции алканов  $C_{3+}$  превращения этанола в присутствии АП-64

затора: образуются кластеры  $Pt_2Al$  интерметаллида и существенно повышается кислотность поверхности [7]. Такие превращения активных компонентов на алюмоплатиновом катализаторе, приводящие к формированию наноразмерных кластеров интерметаллидов, были отмечены ранее [8—10]. Механизм их образования еще мало понятен, однако, установлено, что сильное взаимодействие платиновых центров с оксидом алюминия происходит на пятикоординированных полиэдрах оксида алюминия, легко образуемых на поверхности оксида при термической обработке [11].

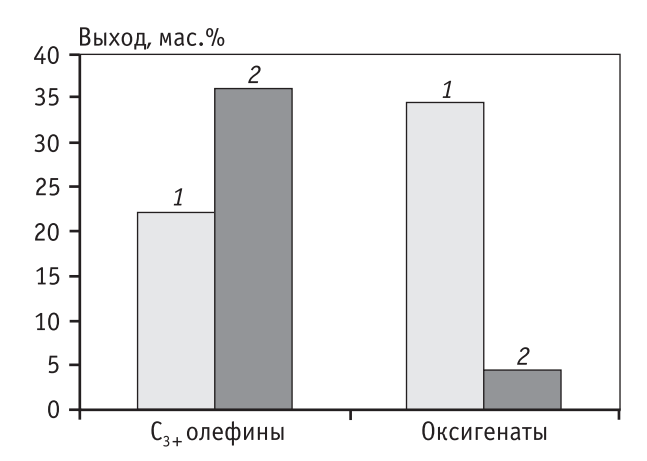
Рd-содержащий катализатор, нанесенный на  $\gamma$ -Al<sub>2</sub>O<sub>3</sub> из ацетата палладия, после восстановления проявляет, как и алюмоплатиновый катализатор, селективность в образовании алкановой фракции. Однако содержание разветвленных алканов существенно выше по сравнению с алюмоплатиновым катализатором: составляет 25 % [12]. При нанесении Pd—Zn каталитических компонентов на поверхность  $\gamma$ -Al<sub>2</sub>O<sub>3</sub> из биметаллического ацетатного комплекса состава Pd<sub>2</sub>M(OOCMe)<sub>4</sub>H<sub>2</sub>O (здесь M — Zn, Co, Ni; Me — метильная группа) [13] формируется катализатор, в присутствии которого этанол превращается в алкан-олефиновую фракцию C<sub>5</sub>—C<sub>10+</sub>, выход которой составляет 50 %, из которых более половины (т.е. > 25 %) приходится на разветвленные углеводороды.

Выход, мас.%, продуктов превращения этанола (алканы/олефины) на Pd-, Zn-содержащих системах:

Катализатор Pd	Zn	Pd—Zn
C <sub>1</sub> 12,21/—	0,51/—	3,38/—
C <sub>2</sub> 20,17/—	10,42/28,35	25,58/—
$C_3-C_{10}$	12,96/28,90	18,53/30,96

Превращение этанола на  $Zn/\gamma$ - $Al_2O_3$  приводит к образованию 70 % олефиновой фракции, выход которой составляет 40 %. Таким образом, измененяя состав катализатора, можно направленно измененять селективность превращения этанола [8].

Было найдено, что использование гетерометаллических предшественников, содержащих активные компоненты, сближеных в рамках единой структуры, существенно влияет на повышение активности и селективности каталитических систем в получении олефиновых углеводородов. Из рис. 2 видно, что в присутствии  $Ta-Re/\gamma-Al_2O_3$  каталитической системы, полученной нанесением биметаллического алкоксидного комплекса  $Ta_4O_2(OM)_{14}(ReO_4)_2$ 

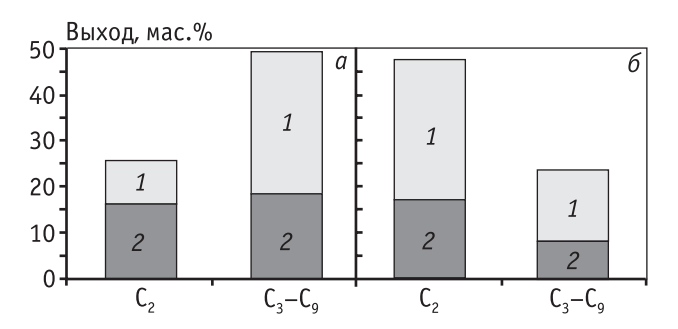


**Рис. 2.** Выход углеводородов и оксигенатов на  $Ta-Re/\gamma-Al_2O_3$ -катализаторах, полученных из 1- смеси (Re+Ta монометаллической) и 2- биметаллического (Re-Ta) комплексов

[14], выход олефиновой фракции составляет ~35 %, тогда как в присутствии катализатора такого же состава, но полученного нанесением смеси алкоксидов тантала и рения, выход олефиновой фракции не превышает ~20%. При этом селективность процесса снижается в результате возрастания выхода оксигенатов (см. рис. 2).

Похожий эффект увеличения выхода алкан-олефиновой фракции наблюдается и при использовании каталитической Pd—Zn-системы, полученной из гетерометаллического комплекса-предшественника. Однако снижение селективности в образовании углеводородов в присутствии катализатора, полученного из смеси монометаллических ацетатных комплексов палладия и цинка, обусловлено увеличением выхода этан-этиленовой фракции (рис. 3).

Данные по изучению структуры катализаторов методом XAFS-спектроскопии и РФЭС показали,



**Рис. 3.** Выход и состав углеводородов, полученных из этанола в присутствии катализатора, приготовленного из алкоксидного биметаллического комплекса (a) и смеси ацетатных комплексов палладия и цинка (b); 1 — олефины, 2 — алканы

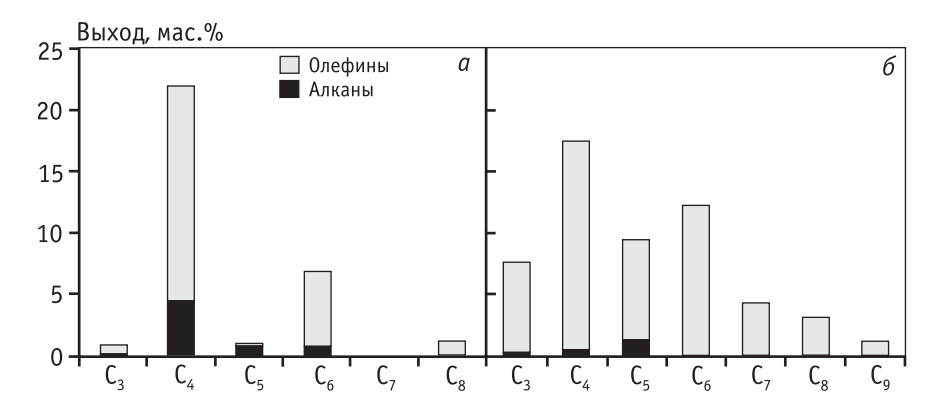
что при нанесении активных компонентов из биметаллических предшественников формируются высокодисперсные активные компоненты (<d><  $\approx$  5÷8 нм), распределенные в непосредственной близости один от другого на поверхности  $\gamma$ -Al<sub>2</sub>O<sub>3</sub>. В отличие от этого при формировании активных компонентов из смеси монометаллических комплексов эффекты межатомного взаимодействия от разных металлов значительно слабее, при этом дисперсность металлсодержащих компонентов, распределенных на поверхности носителя, значительно ниже [15].

Согласно [6], при превращении этанола совместно с циклопентанолом в жидких продуктах реакции впервые было обнаружено до 15 % этилзамещенных циклопентанов. В образовании олефинов по реакции (36) в присутствии Ta— $Re/\gamma$ - $Al_2O_3$  катализатора выход углеводородной фракции существенно выше при добавлении к этанолу бутанола, пропанола и глицерина — наиболее реакционноспособного сореагента по сравнению с бутанолом и н-пропанолом.

При каталитическом превращении смеси этанола и глицерина в присутствии Та—Re-содержащего катализатора выход олефиновой фракции достигает 60 %, из них содержание разветвленных олефинов составляет 50 %. Как видно из рис. 4 продукты превращения этанола состоят, главным образом, из олефинов. Степень включения глицерина достигает 90 %.

Сореагент влияет на групповой состав углеводородных продуктов. В продуктах превращения этанола доминируют углеводороды с четным числом углеродных атомов (рис. 4, a). При добавлении глицерина возрастает наряду с углеводородами, содержащими четное число углеродных атомов, содержание углеводородов с нечетными атомами углерода (рис. 4,  $\delta$ ).

В табл. 1 представлены данные по выходу углеводородов фракции  $C_3$ — $C_{10}$ , а также по содержанию в этой фракции разветвленных углеводородов. Как видно, содержание разветвленных алифатических углеводородов во фракции С<sub>3</sub>—С<sub>10</sub> зависит от используемого катализатора. В присутствии промышленного Рt/у-Al<sub>2</sub>O<sub>3</sub>-катализатора содержание разветвленных алканов  $C_3$ — $C_{10}$  не превышает 10 %, на Си-катализаторе содержание разветвленных структур возрастает до 15 %, на Re-системах их содержание составляет уже 50 % и, наконец, в присутствии сложной композиции, состоящей из интерметаллида,  $Pt/\gamma$ - $Al_2O_3$  и MgO содержание изоалканов составляет более 90 %. Весьма важным оказался результат хромато-масс-спектрометрическому анализу изоалканов С<sub>6</sub> (состав разветвленных олефинов определяли после их гидрирования). Практически во всех экспериментах содержание симметричного мо-



**Рис. 4.** Выход и состав продуктов превращения этанола (a) и смеси этанола с глицерином ( $\delta$ ) в присутствии Ta-Re/ $\gamma$ -Al<sub>2</sub>O<sub>3</sub>-катализатора

Таблица 1 Выход и содержание разветвленных углеводородов C<sub>3</sub>—C<sub>10</sub>

Выход прдуктов, мас.%	Pt	[TiFe <sub>0,95</sub> Zr <sub>0,03</sub> Mo <sub>0,02</sub> ]H <sub>0,02</sub> /Pt/Al <sub>2</sub> O <sub>3</sub> /MgO	Cu	Re-W	Re-Ta
С <sub>3</sub> -С <sub>10</sub> , из них	38,1	27,3	58,95	31,5	35,9
алканов	36,5	20,1	0,23	5,95	0
олефинов	1,6	7,2	58,72	25,56	35,90
Содержание изоструктур во фр. $C_3$ – $C_{10}$ , мас %	10	90	15	48	53

нометилзамещенного пентана составляет более 90%. Но из данных по концентрациям в равновесной смеси, рассчитанной по термодинамическим параметрам, следует, что концентрация более устойчивого 2-метилпентана составляет 60% против 40% менее устойчивого 3-метилпентана [16]. Этот результат указывает, что смесь образуемых разветвленных углеводородов не равновесна и, скорее всего, не является результатом реакции изомеризации.

С целью изучения механизма образования углеводородов из этанола было исследовано влияние добавок к этанолу наиболее вероятных интермедиатов процесса, таких как ацетальдегид и этилен, всегда присутствующих в продуктах превращения спиртов. Оказалось, что этилен заметно потребляется при превращении этанола в присутствии алюмоплатинового катализатора, увеличивая выход линейных алканов с четным числом углеродных атомов, тогда как ацетальдегид практически не влияет на выход алкановой фракции. И, наоборот, при использовании Re-содержащих биметаллических каталитических систем (W-Re; Ta-Re) ацетальдегид потребляется в реакции превращения этанола, давая монометилзамещенные олефины и алканы, добавленный же этилен практически не влияет на выход углеводородной фракции.

Полученные результаты позволяют предположить, что углеводородная фракция может быть образована в результате олигомеризации этилена или альдольной конденсации ацетальдегида, образуемых из этанола в результате реакций, соответственно, дегидратации и дегидрирования, идущих на начальных стадиях процесса:

EtOH 
$$\xrightarrow{-H_2O}$$
  $C_2H_4 \xrightarrow{+nC_2H_4}$   $C_nH_{2n} \xrightarrow{Kar.}$   $C_nH_{2n+2}$ , (4)
$$\xrightarrow{H_2} \xrightarrow{-CO, CO_2, CH_4}$$

EtOH 
$$\xrightarrow{-H_2}$$
 CH<sub>3</sub>COH  $\xrightarrow{+n$ CH<sub>3</sub>COH  $\xrightarrow{Kar.}$  CH<sub>3</sub>CH<sub>2</sub>CHR. (5)

Косвенно подтверждают высказанное предположение составы продуктов реакций, близкие к предполагаемым, согласно предложенным маршрутам превращения этанола в углеводороды в присутствии исследуемых катализаторов.

Как видно из табл. 1 и 2 в присутствии алюмоплатинового катализатора доминирует реакция олигомеризации этилена, приводящая к преимущественному образованию линейных углеводородов с четным числом углеродных атомов, тогда как в присутствии Re-содержащих катализаторов из 50 % разветвленных структур доминируют тримонометилзамещенные углеводороды.

Водород, всегда образующийся из части этанола, потребляется на гидрирование олефиновых продуктов в присутствии Pt- и Pd-содержащих активных компонентов, обладающих, как известно, повышенной гидрирующей активностью. В присутствии W- и Та-содержащих компонентов, не обладающих гидрирующей активностью, из этанола образуется, главным образом, олефиновая фракция.

Одним из возможных объяснений образования углеводородов с разным содержанием разветвленных структур является доля вклада реакций олигомеризации и альдольной конденсации интерме-

Таблица 2 Отношение выходов углеводородов во фракции C<sub>4</sub>–C<sub>10</sub>, полученных из этанола с введенным дополнительно либо этиленом, либо ацетальдегидом (доб) к выходу углеводородов из этанола (эт)

Отношение выходов углеводородов	Pt			Re-W		
	Количество добавленного этилена, ммоль		Количество добавленного ацетальдегида, ммоль			
	0	15	60	0	45	180
С <sub>4доб</sub> /С <sub>4эт</sub>	1,00	1,96	2,06	1,00	1,68	1,94
С <sub>5доб</sub> /С <sub>5эт</sub>	1,00	1,00	1,00	1,00	1,37	2,22
С <sub>6доб</sub> /С <sub>6эт</sub>	1,00	0,88	1,23	1,00	1,62	2,79
С <sub>7доб</sub> /С <sub>7эт</sub>	1,00	1,00	1,00	1,00	0,90	1,50
С <sub>8доб</sub> /С <sub>8эт</sub>	1,00	1,15	1,75	1,00	1,46	3,44
С <sub>9доб</sub> /С <sub>9эт</sub>	1,00	1,00	1,00	1,00	1,00	1,22
С <sub>10доб</sub> /С <sub>10эт</sub>	1,00	1,91	2,33	1,00	1,88	8,49

диатов, образуемых из этанола на рассматриваемых каталитических системах.

Олефины, образующиеся из спиртов, — ценные предшественники для получения органических компонентов топлив, а также многих важных кислородсодержащих продуктов органического синтеза, получаемых, например, в процессах карбонилирования/гидрокарбонилирования. В связи с этим создание не зависящих от нефтяного сырья и природного газа автономных процессов получения органических продуктов сопряжено с разработкой эффективных процессов получения водорода и синтез-газа также из продуктов биомассы.

Нами были разработаны пористые мембраннокаталитические системы, проявляющие высокую активность в углекислотном и паровом риформинге продуктов, вырабатываемых из биомассы. Одно из теоретических обоснований интенсификации эндотермических процессов: во внутреннем объеме каталитических каналов мембраны усиливается взаимодействие молекул паров субстратов с активными центрами поверхности, существенно улучшающее массо- и теплообмен [17, 18].

Пористые мембранно-каталитические носители готовили методом самораспространяющегося высокотемпературного синтеза [19]. Внутренняя поверхность каналов пористых мембран модифицирована небольшим количеством Pd-содержащих моно- и биметаллических активных компонентов. На рис. 5 представлен общий вид этих мембран.

Нанесено каталитических компонентов, мас.%: 0,023 Pd (a), 0,007—0,014 Pd—Co ( $\delta$ ), 0,015—0,03 Pd—Zn ( $\theta$ ).

Нанесение активных компонентов осуществлялось алкоксометодом из алкоксидных и ацетатных мо-

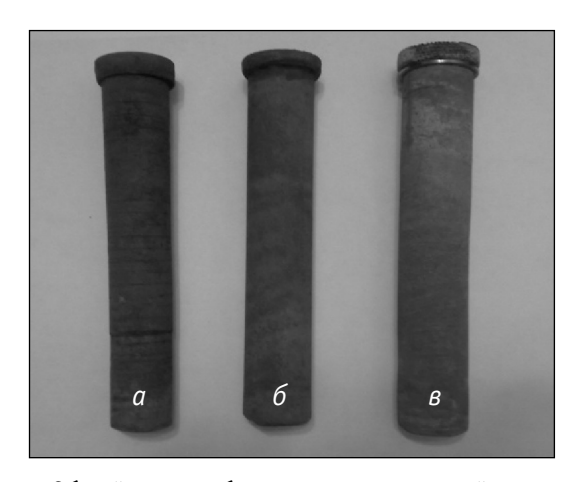
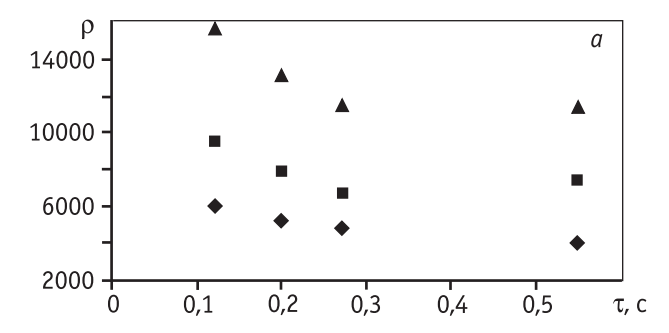


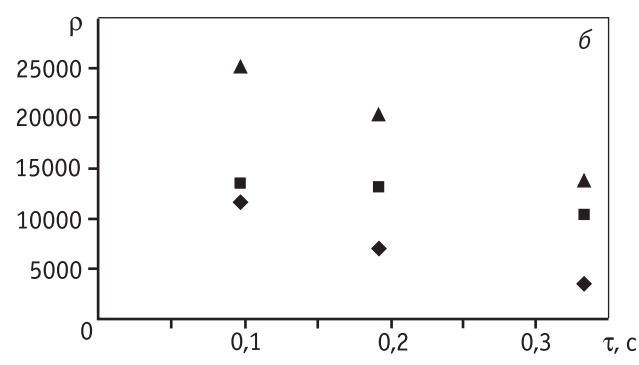
Рис. 5. Общий вид мембранно-каталитической системы

но- и биметаллических комплексов [20]. По существу, такая мембрана, содержащая до  $10^7$  каталитических пор со средним размером 3 мкм на 1 см² поверхности, представляет «ансамбль» нанореакторов. Данные СЭМ и ПЭМ, снабженные станцией высокоэнергетического рентгеновского микроанализа внутренней поверхности среза показали, что частицы активных компонентов характеризуются однородным распределением и средним размером 15—20 нм [20].

В присутствии Pd—Со-содержащего катализатора интенсивно идет углекислотный риформинг этанола и смеси, состоящей из этанола и глицерина, в синтез-газ. Из рис. 6 видно, что производительность по синтез-газу при условном времени контакта 0,1 с составляет до 16000 и 25000 л/(дм<sup>3</sup>мембр. ч) при использовании соответственно, этанола и смеси этанола с глицерином.

Мембранно-каталитическая система также проявляет высокую активность при паровом риформинге этанола и уксусной кислоты. В этих опытах отношение пар:субстрат ≈ 13:14 бралось близким к получаемому в процессе ферментации, чтобы избежать энергоемкой стадии выделения органического субстрата. Практически полная конверсия, как и в





**Рис. 6.** Удельная производительность (р),  $\pi/(\text{дм}^3_{\text{мембр.}} \cdot \text{ч})$ , мембранно-каталитической системы в углекислотном риформинге этанола (a) и смеси этанола и глицерина (b); Pd–Co-катализатор; b50 °C,

 $\tau$  – условное время контакта:  $\spadesuit$  –  $H_2$ ,  $\blacksquare$  –  $CO_2$ ,  $\blacktriangle$  –  $(H_2$ +  $CO_2)$ 

**Рис. 7.** Схема получения топливных компонентов и водородсодержащего газа

углекислотном риформинге, достигается при 650 °С. Производительность по выходу водорода составляет 600 и 400 л/(дм $^3_{\text{мембр.}}$ ·ч).

При паровом риформинге используемых субстратов селективность по водороду (в расчете на образуемые следы СО,  $C_2H_4$  и  $CH_4$ ) достигает более 99 %.

Поэтому разрабатываемый способ может быть эффективно использован в компактных топливных электрохимических установках для выработки электроэнергии.

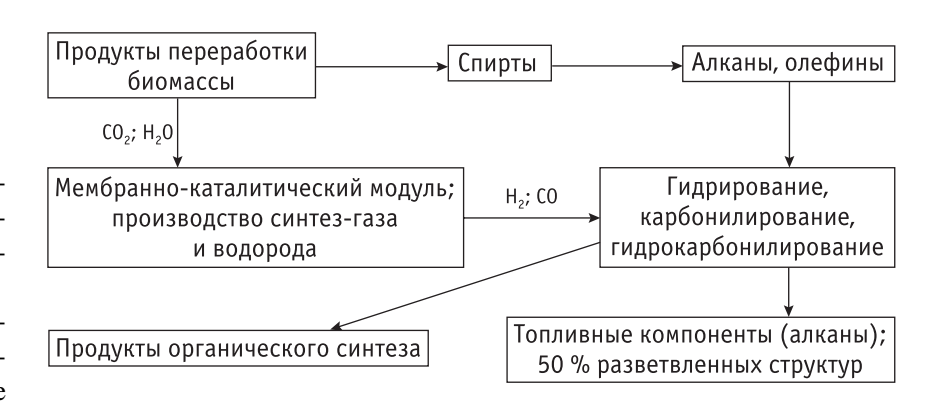
### Заключение

Вовлечение продуктов биомассы в инфраструктуру химических производств с целью получения важнейших энергоносителей — одна из приоритетных и перспективных задач в области биокатализа — направлена на рациональное природопользование и решается ведущими исследовательскими центрами мира [21].

Приведенные данные — результаты лабораторных фундаментальных исследований, проводимых в ИНХС РАН совместно с ИОНХ РАН, показывают, что в каталитических реакциях восстановительной дегидратации и конденсации углеводородного остова этанола, а также превращения смеси этанола с другими биоспиртами, возможно получение алифатических углеводородов, являющихся ценными компонентами моторных топлив и сырьем для продуктов органического синтеза. Разработаны каталитические системы, в присутствии которых выход алифатических углеводородов из этанола приближается к теоретически возможному (60 %).

Использование оригинальных мембранно-каталитических систем позволяет осуществлять углекислотный и паровой риформинг этих же первичных продуктов возобновляемой биомассы в водород и синтез-газ с высокой производительностью при умеренных температурах и исчерпывающей конверсии сырья.

Эффективное использование биоспиртов и диоксида углерода по двум рассмотренным направлениям позволяет предложить перспективную прин-



ципиальную схему (рис. 7), демонстрирующую возможность производства энергоносителей, а также сырья для получения многих важных соединений органического синтеза из основных первичных продуктов возобновляемой биомассы, получаемых в малоэнергоемких процессах ее переработки.

Технология, согласно приведенной схеме, может быть реализована как на нефтехимических производствах по получению топливных компонентов, так и на предприятиях по получению биоэтанола. Возможно также использование отдельных ее узлов с целью создания мобильных установок по получению водорода или синтез-газа, например, как было упомянуто, интегрированных с топливными элементами в малогабаритных энергетических станциях.

Можно надеяться, что приведенная схема получения топливных компонентов и водородсодержащего газа, альтернативных нефтяному сырью и природному газу, будет реализована в технологии получения энергоносителей на базе возобновляемой биомассы.

Авторы выражают благодарность РФФИ за финансовую поддержку работы (Проекты РФФИ 09-03-12060-офи\_м; 08-03-92496-НЦНИЛ\_а; 09-03-00133-а) и грант Президента РФ по поддержке ведущих научных школ России НШ-1733.2008.3.

# Литература

- 1. *Fierro, J.L.G.* In Proceedings of the Europecat IX. Abstracts. Salamanca, Spain, 2009. KN-10. P. 108.
- 2. Charle D. // Science (Biofuels), 2009. Vol. 324. P. 587.
- 3. *Варфоломеев С.Д., Моисеев И.И., Мясоедов Б.Ф.* // Вестник Российской Академии Наук. 2009. Т. 79. № 7. С. 595.
- 4. *Sheldon R.A.* In Proceedings of the Europecat IX. Abstracts. Salamanca, Spain, 2009. Vol. 7. P. 107.

- 5. *Tsodikov M.V., Kugel V.V., Yandieva F.A.* et al. // Pure Applied Chemistry, 2004. Vol. 76. № 9. P. 1769.
- 6. *Tsodikov M.V., Yandieva, F.A. Kugel V.Ya.* et al. // Catalysis Lettersio 2008. Vol. 121. № 3-4. P. 199.
- 7. *Яндиева Ф.А., Цодиков М.В., Чистяков А.В.* и др. // Кинетика и Катализ. 2010. Т. 51. № 4. С. 552.
- 8. Stadelmann P. // Ultramicroscopy, 1987. Vol. 21. P. 131.
- 9. Zhong X., Zhu J., Liu J. // Catalysis. 2005. Vol., 236. P. 9.
- 10. Petraszek A., Costa P.D., Markues R. et al. // Catalysis Today. 2007. Vol. 119. P. 187.
- Kwark J.H., Hu J., Mei D. et al. // Science. 2009. Vol. 325.
   P. 1670.
- Tsodikov M.V., Chistyakov A.V., Yandieva F.A. et al. // Abstracts of VIII International Conference «Mechanisms of Catalytic Reactions», June 29—July 2, 2009. Novosibirsk. P. 106.
- 13. Kozitsyna N.Yu., Nefedov S.E., Dolgushin F.M. et al. //
  «Heterodimetallic PdII-based carboxylate-bridged complexes: Synthesis and structure of single-crystalline
  PdII—M (M = MnII, CoII, NiII, CuII, ZnII, NdIII,

- EuIII, CeIV) acetates»// Inorg. Chim. Acta. 2006. Vol. 359. P. 2072.
- Shcheglov P.A., Drobot D.V. // Chem. Mater. 2002. Vol. 14.
   P. 2378.
- Kriventsov V.V., Kochubey D.I., Novgorodov B.N. et al. //
  Digest reports of the XVII international synchrotron radiation conference (SR-2008), June, 15—20. 2008, Novosibirsk. P. 7.
- 16. *Olah G.A., Moluar A*. Hydrocarbon Chemistry. New York: Wiley. 1995. P. 527.
- 17. *Курчатов И.М., Лагунцов Н.И., Цодиков М.В.* и др. // Кинетика и катализ, 2008. Т. 39. № 1. С. 120.
- 18. *Хасин А.А.* // РХЖ, общества им. Д.И. Менделеева. 2003, T. XLVII. С. 36.
- 19. Пат. 2325219 (РФ) от 27 мая 2008 г.
- 20. *Цодиков М.В.* Тезисы докладов Международного форума по нанотехнологиям «Rusnanotech 09», 6—8 октября, Москва, 2009. С. 264.
- 21. *Gallezot P.* In Proceedings of the Europecat IX. Abstracts. Salamanca, Spain, 2009. PL 6. P. 102.

УДК 665.644.0973

# КАТАЛИТИЧЕСКАЯ СИСТЕМА СИНТЕЗА ЦИКЛИЧЕСКИХ КЕТАЛЕЙ НА ОСНОВЕ ГЛИЦЕРИНА И НИЗШИХ КАРБОНИЛЬНЫХ СОЕДИНЕНИЙ—ВЫСОКООКТАНОВЫХ БИОДОБАВОК К МОТОРНОМУ ТОПЛИВУ

© 2010 г. С.Д. Варфоломеев<sup>1</sup>, В.Б. Вольева<sup>1</sup>, С.В. Усачев<sup>1</sup>, И.С. Белостоцкая<sup>1</sup>, Н.Л. Комиссарова<sup>1</sup>, А.В. Малкова<sup>1</sup>, А.И. Нехаев<sup>2</sup>, А.Л. Максимов<sup>2</sup>, Г.Г. Макаров<sup>1</sup>

## Введение

Производство основных видов жидкого биотоплива — биодизельного и биоэтанола — сопровождается образованием значительных количеств полиолов (глицерина в производстве биодизельного

топлива, пятиатомных моносахаридов в производстве биоэтанола), которые в рамках существующих технологий не находят полного применения, хотя использованию глицерина в последнее десятиле-

<sup>1</sup> Институт биохимической физики им. Н.М. Эмануэля РАН, Москва

<sup>&</sup>lt;sup>2</sup> Институт нефтехимического синтеза им. А.В. Топчиева РАН, Москва